

I-10 海岸波浪の変形の観測(3)

慶應大学工学部 正 哲 沢 忠男

1. 前報では、新潟県大潟町にある帝国石油KK所有の長大栈橋(海上の長さ: 250m, 水深: 6~7m)に設置した6台のリレー型階段抵抗式波高計の記録より、観測地W-2とW-5の2地点での波浪記録を解析した。ここでは、さうに、観測地W-3, W-4, W-6の3地点での波浪記録も解析して、浅海における海岸波浪の変形についての基礎的資料を得ようとした。用いた資料は、昭和41年12月26日14時~28日10時および昭和42年2月23日8時~25日0時の2時間ごとのものである。

図-1および図-2は、有義波のW-2~5, 3~5, 5~6間の単位距離あたりの波高減衰率、それと、横軸に沖側の有義波高および有義波の波形勾配をとって示したものである。図中、○は前報の結果を示したものであるが、本報の結果もほぼ似た傾向、すなはち、有義波高あるいは有義波の波形勾配が大きくなるにつれて波高減衰率も大きい、を示していることがわかる。ただ、詳細にみると、波高が2m程度までのW-5~6間では、波高、波形勾配が大きくなつて減衰する傾向が逆となる。

図-3および図-4は、それぞれ水、有義波の波形勾配とskewnessおよびkurtosisの関係を、観測地を区別して示したものである。Longuet-Higginsは、波形勾配が大きくなるにつれて skewness と kurtosis もともに大きくなることを見理論的に得ているが、これららの図をみると、かなりばらついてはいるが、そうした傾向があることはわかる。

また、W-3, 4, 5の区別はきわめて不明確であるが、W-2の値が比較的低めで、W-6の値が若干高めであることがわかる。図-5および図-6は、有義波高の減衰を沖側の skewness および kurtosis に対して示したものである。ここの図をみると、

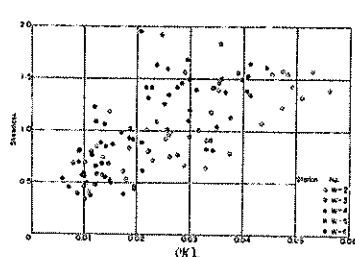


図-3 波形勾配とskewnessの関係

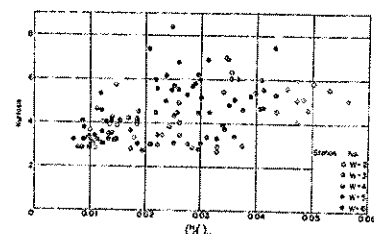


図-4 波形勾配とkurtosisの関係

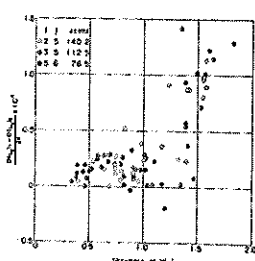


図-5 沖側の skewness と波高減衰の関係

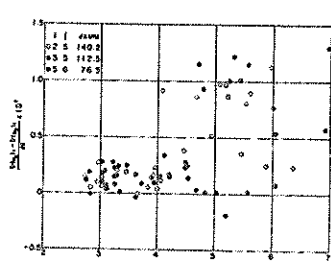


図-6 沖側の kurtosis と波高減衰の関係

skewness あるいは kurtosis が大きくなるほど減衰が大きいといつて傾向がみえますが、図-6ではかなりばらついています。また、W-5~6間では、減衰は skewness に依存せず、であり、kurtosis については減衰が小

さくなる傾向がみえる。図-7および図-8は、それぞれ、skewnessの漸減と沖側の有義波高および波形勾配に対して示したものである。W-2~5, W-3~5間では、たゞて、skewnessが減衰し、その割合と有義波高、波形勾配との相関がほとんど認められないににくらべて、W-5~6[1]では増大し、その割合は有義波高、波形勾配が大きほど大きいことがわかる。

2. かつて勤務していた京都大学防災研究所では、前記橋の西北西約2.1 km, 水深25 mのところにあら海中塔に、階段振動式波高計を1台設置し、得た記録はテレメータ装置で陸上の観測室に送り、該橋の波浪記録と同時に記録していく。ここでは、昭和43年12月9日19時から12月11日22時までの連続記録について、海中塔(W-0)とW-2での波浪記録を対応させて検討した。

図-9(1), (2)は、有義波周期、有義波高、1/10最大波高、大潮海面における10分間平均の風速・風向、および有義波の波形勾配を示す。図の(1)をみると、波高はW-2の方が小さく、とくにW-0の有義波高が0.5 m程度の波は約1/4になつてゐる。しかし、波高の精度が±5 cmであることを考慮すると、このよろな小さな誤について波高を誤認することは無意味であろう。波高が比較的大きい10日18時~11日4時の資料について、波の卓越方向はほぼ風向WNWと一致し、また、有義波数と海底摩擦係数 f を算出すると、従来の $f = Re^{-0.2}$ の関係の上限に相当してゐることを得てゐる。

また、図-9をみると、10日の11~22時かけて、風が強くなると、それにともなつて周期は一度短くなつてから長くなり、波高と波形勾配は急激に増大するといふ、風波の発達と思われる記録がある。解析して得たパワースペクトルをみると、10日11時、12時では卓越したピークもなく、とくにW-2のスペクトルの値は小さい。14時

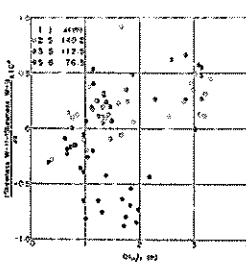


図-7 時間分波高とskewnessの関係

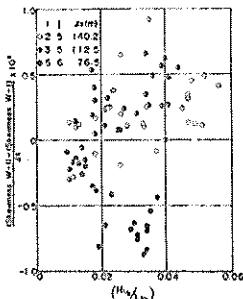
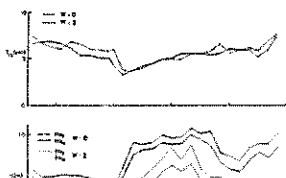
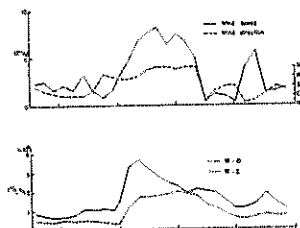


図-8 時間分波高とskewnessの関係



(1) 有義波周期、有義波高、1/10最大波高



(2) 風速、風向、波形勾配

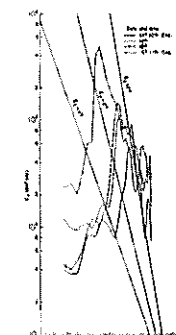


図-10 パワースペクトルの
飛躍(W-0)

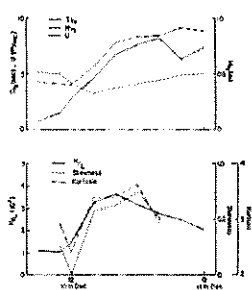


図-11 W-0における波浪特性
の変化

から卓越したピークが現われ始め、11日4時ではオーピークがほとんどなくなつてゐる。図-10は、そうした時間とともに飛躍していきスペクトルをW-2についてのみ示したもので、スペクトルピークの高周波側は、W-2では $E \sim f^{-4}$ に近いことがわかる。なお、W-0については $E \sim f^{-5}$ に近い。図-11は、図-9から、10日9時より11日0時までのW-0における種々の特性を示したもので、同時にskewness, kurtosisの変化も示した。10日11時頃までは有義波高0.4 m、有義波周期5 sec程度のうねりの状態であったと思われるが、この図をみると、風速が増すと、周期は最初減少してから徐々に増大し、波高はほぼ増大すると同時に、波形勾配が急激に大きくなつてゐることがわかる。また、skewnessとkurtosisは最初減少してから、波形勾配が大きくなつてから大きくなり、それらの傾向はよく似ていることがわかる。